

埼玉大学工学部 正会員 ○佐藤 邦明  
 埼玉県 萩野 隆一  
 埼玉大学工学部 正会員 稲垣 邦夫

## はじめに

地下における熱輸送現象は温泉学、地熱、地下熱貯留工事など諸分野、問題に添って最近興味のもたらされているものである。これらにおいて、大概の場合に地下水と地盤、岩盤の熱伝導が一つの対象となってくるが、周知のように一般に物質内では熱伝導様式は輻射、伝導、対流に区別され、三者の中でもいかが支配的様式として論じうる。地下においては伝導と対流が支配的であると考えてよく、たとえば、水で飽和された多孔体中ではそこに温度差を生じると、空隙規模が大きいと伝導と自然対流が問題となり、空隙が小さいとほとんど伝導で決ってしまうことになる。また、飽和多孔体中に温水が侵入するとき強制対流、つまり熱流束流においては伝導、対流の両者が卓越した現象となる。

本研究は上述兩者に注目して、特殊な設計を施した室内実験装置によって基礎的行い、三の熱伝導実験を行なったのでその一部を報告するものである。本報では特に熱伝導方程式の解と実験結果を比較検討しつつ、現象モデルをどう考へればよいかについて考えてみる。

## 1. 実験装置と条件

実験装置は図-1に示すようなもので、大別して、(1)加熱・冷却部、(2)多孔体コンデンサ、(3)温度調節水槽およびメーター、(4)温度測定・記録部である。実験は多孔体コンデンサの中に試料(ガラス球、砂、標準砂、ローム使用)を充てんして、その上下端に温度差をつけるが温水循環の実験では温水を定水頭で浸入させる。その様子は図-2に示すようであり、水流やすべ一ミストプローブの位置も図示されている。これら実験条件は次に述べる理論条件と同一にした。加熱・冷却部の温度は-5~60°Cでいろいろの条件を与えた。

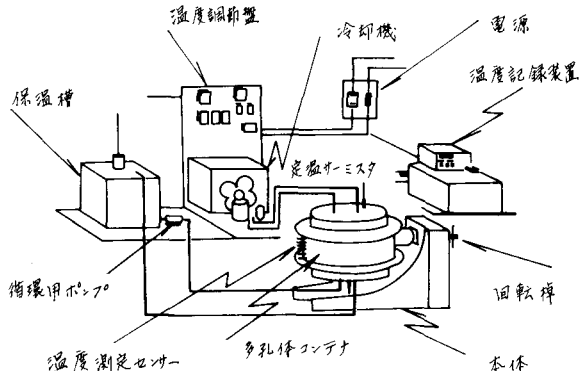


図-1 実験装置の概略

## 2. 理論と条件

上述したような実験条件に合わせて、理論解を求めるわけであるが、今回の研究では流体温度差による自然対流は考えず、熱伝導方程式はフーリエ形式のものに注目した。

## (1) 饱和多孔体の伝熱解

基本式は

$$\frac{\partial T}{\partial t} = \alpha \frac{\partial^2 T}{\partial x^2}, \dots \dots \dots (1)$$

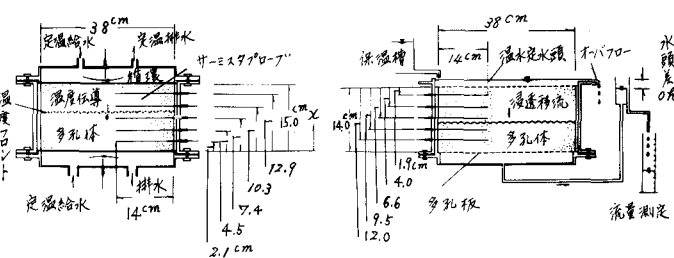


図-2 実験条件と理論条件

条件

$$x=0; T=T_0, x=l; T=T_e, t>0, t=0;$$

$T=T_i$  の下で解は

$$T=T_0 + \frac{(T_e-T_0)}{l} x + \frac{4}{\pi} (T_i-T_0) \sum_{s=1}^{\infty} \frac{1}{(2s-1)}$$

$$e^{-a \frac{(2s-1)^2 \pi^2}{l^2} t} \cdot \sin \frac{(2s-1)\pi}{l} x + \frac{2}{\pi} (T_e-T_0) \sum_{s=1}^{\infty} \frac{(-1)^s}{s}$$

$$e^{-a \frac{s^2 \pi^2}{l^2} t} \cdot \sin \frac{s\pi}{l} x, \quad \dots \quad (2)$$

である。ここで、 $T$ ；温度、 $x$ ；距離、 $t$ ；時間、 $a$ ；温度伝導率、 $T_0, T_e, T_i$ ； $x$ 水流下端及初期温度、 $l$ ；試験長である。

(2) 移流のある伝熱解

基本式は、

$$\frac{\partial T}{\partial t} + \frac{(Sc)_f u}{Sc} \frac{\partial T}{\partial x} = a \frac{\partial^2 T}{\partial x^2} \quad \dots \quad (3)$$

条件

$$x=0; T=T_0, x=l; T=T_e, t>0, t=0; T=T_i=T_e, x>0$$

の下で、解は

$$\frac{T-T_e}{T_0-T_e} = \frac{e^{-(Sc)_f u x / l Sc} - e^{-\frac{(Sc)_f l u}{a} / l}}{1 - e^{-(Sc)_f l u / l Sc}} - \sum_{s=1}^{\infty} \frac{2}{s \pi} \frac{1}{1 + \left\{ \frac{(Sc)_f l u}{2 s \pi a c} \right\}^2}$$

$$e^{-(Sc)_f u x / l Sc} \sin s \pi \frac{x}{l} e^{-\left( \frac{a}{l u} s^2 \pi^2 + \frac{(Sc)_f^2}{4 a} \left\{ \frac{(Sc)_f l u}{l Sc} \right\}^2 \right) \frac{u}{l} t}, \quad \dots \quad (4)$$

である。ここで、 $(Sc)_f$ ；流体比熱、 $Sc$ ；平均比熱、 $u$ ；流速である。

### 3. 結果と考察

実測結果の4例を図-3に示してあるが、これらは図-2に示した多孔体中の各点の温度経時変化が時間セグメントに描かれたものであって、図中上2図はガラス球  $d_{50}=0.8 \text{ mm}$  の場合であり、下2図は標準砂  $d_{50}=0.2 \text{ mm}$  の場合の移流のあるものである。特にガラス球の場合には下端を加熱した時は対流のため時間経過と共に温度分布が不安定となっていくことが判かる。他の結果はすべて理論と同じ傾向をもつことが認められた。

温度伝導率  $a$  の値は解曲線群を  $a$  をパラメータに卷に描いておき、実測結果を同様に整理して比較して求めた方法をとった。この方法により、飽和多孔体の場合、標準砂で平均的  $a = 2.0 \times 10^{-3} \text{ m}^2/\text{hr}$ 、ガラス球  $1.1 \times 10^{-3} \text{ m}^2/\text{hr}$ 、砂  $1.6 \times 10^{-3} \text{ m}^2/\text{hr}$ 、また、浸透移流のある場合、標準砂、 $a = 3.0 \times 10^{-3} \text{ m}^2/\text{hr}$ 、ガラス球  $1.3 \times 10^{-3} \text{ m}^2/\text{hr}$  程度の値であった。浸透流が  $10^{-4} \sim 10^{-3} \text{ cm}^3/\text{s}$  の範囲のためあまり両者に大差がなかった。特に、温水移流のある場合の伝導率移流速度が小さいと流れによる輸送が少ないので、式(3)の左辺第2項を無視して得る。

### 参考文献

1) 小平吉男、物理数学、第2巻、岩波 P 286 ~

2) 香取亮和、佐藤邦明；地下熱流束に関する基礎実験、第33回土木学会年講、昭和53年9月